



Relatório Projeto 1

Comunicações Móveis

Autoria

Pedro Henrique Dornelas Almeida

Matrícula

242110048

Programa de Pós Graduação em Engenharia Elétrica
Universidade de Brasília

6 de outubro de 2025

1 Simulação

O projeto foi desenvolvido em Matlab e pode-se dividir o código em três partes principais:

1. Definição de Variáveis: faz-se a definição de variáveis globais que serão utilizadas ao longo do programa;
2. Simulação e figuras: faz-se toda a simulação e lógicas necessárias para implementar as fórmulas e geração de variáveis aleatórias tornando possível a geração das figuras;
3. Funções Auxiliares: no trecho final do código estão as funções auxiliares que serão utilizadas durante o código, em geral são funções criadas para facilitar o entendimento e encapsular uma lógica específica. Pode ser reaproveitável em vários locais, o que facilita a reprodução, caso necessário.

A simulação foi realizada em um único arquivo e segue a ordem descrita no guia do projeto e nos slides apresentados em sala. O cenário sorteado e utilizado foi UMa-NLoS - Macro celular urbano e sem visada direta.

Para rodar a simulação, basta executar o arquivo *simulation.m*. Disponível em <https://github.com/pedrodornelas/Modelagem-Canal>.

2 Definições de Variáveis Globais

As variáveis utilizadas estão representadas abaixo:

```
5 %% Simulation Params
6
7 % Environment - UMa-NLoS - number 4 sorted
8 env = 'UMa_NLoS';
9 % Frequency (GHz)
10 freq_ghz = 3;
11 c = 299792458; % m/s
12 lambda = c / (freq_ghz * 1e9);
13 % Multipath components
14 N = 100;
15 % Elevation Angle
16 phi_bar = pi/4;
17 % RX Velocity
18 v = 5; % m/s
```

Figura 1: Variáveis Globais

3 Espalhamento de Atraso (σ_τ)

Para gerar o termo de espalhamento de atraso do canal σ_τ e os termos de atraso τ_n foi criada uma função auxiliar que recebe o tipo de ambiente e retorna as estatísticas que serão utilizadas para gerar o espalhamento de atraso eficaz. Então, esta variável foi gerada utilizando a distribuição Gaussiana, em seguida, foi transformada em escala linear para ser utilizada nos demais pontos da simulação. Ainda, para gerar

os termos de atraso do canal, precisamos ainda do fator de proporcionalidade, que, a depender do ambiente, muda a intensidade do espalhamento de atraso. Dessa forma, com tais variáveis definidas, é possível gerar os termos de atraso.

```

21 %% Delay Spread RMS
22 % Stats
23 [delay_mean, delay_std] = get_delay_stats(freq_ghz, env);
24 % Gaussian - only one sample to represent
25 delay_spread_rms_log = normrnd(delay_mean, delay_std, [1,1]);
26 delay_spread = 10^(delay_spread_rms_log);
27 delay_spread_ns = 1e9*delay_spread
28
29 %% Generate Delay Samples
30 % Proportionality Factor
31 r_tau = get_prop_factor_delay(env);
32 mu_tau = delay_spread * r_tau;
33 % Delay samples
34 tau_n_absolute = exprnd(mu_tau, [N,1]);
35 tau_n_normalized = tau_n_absolute - min(tau_n_absolute);
36 tau_n = sort(tau_n_normalized);
37 % tau n ns = tau n(1:5)*1e9

```

Figura 2: Espalhamento de Atraso e Amostras de Atraso

Para a definição do espalhamento de atraso geralmente se utiliza distribuições Gaussianas ou distribuições Log-Normais, pois os eventos da natureza, como o multipercurso, geralmente tem um grande fator de aleatoriedade, somando diversos eventos aleatórios. E segundo uma proposição, a soma de eventos aleatórios, ou seja, variáveis aleatórias, tendem para distribuições Gaussianas, e por consequência, a Log-Normal que a dual da distribuição Gaussiana.

A média do espalhamento de atraso diminui conforme o aumento da frequência pois quando aumentando a frequência, ou seja, aumentamos a banda, o sinal no tempo é estreitado, portanto, veremos que a média do espalhamento de atraso diminui. Também podemos atribuir que ao aumentar a frequência, fisicamente estamos tornando o canal menos suscetível à ter multipercurso, dado que há uma perda de percurso severa da potência conforme a distância aumenta, portanto, quando aumentamos a frequência, é provável de várias componentes multipercursos nem chegarem ao receptor, diminuindo a média para próximo das componentes que tem potências maiores e conseguem chegar ao receptor.

O espalhamento de atraso é uma medida do quanto o canal espalha o sinal no domínio de atraso, isto é, o quanto o canal gera componentes atrasadas do sinal transmitido. Assim, quanto maior o espalhamento de atraso, significa que as componentes multipercurso estão mais espalhadas no domínio de atraso, o que implica uma menor banda de coerência e isto significa que o canal filtra o sinal transmitido com mais severidade.

Por fim, as componentes de atraso τ_n são geradas utilizando uma distribuição de probabilidade exponencial. Esta distribuição tem maior probabilidade de ocorrência para valores menores, ou seja, teremos mais componentes multipercurso próximo do eixo y, e quando nos afastamos do eixo y a probabilidade de ocorrência é menor. Dessa forma, teremos mais componentes de atraso próximo ao eixo y da distribuição e menos componentes mais afastadas, ou seja, teremos mais componentes com um atraso menor e menos componentes com um atraso muito grande. Os valores irão depender da média da distribuição, no caso estamos utilizando $\mu_\tau = r_\tau \sigma_\tau$.

4 Potência Multipercurso

Para a geração dos termos de potência multipercurso foram gerados os termos de sombreamento, termos de potência e fator de rice. Após isto, pôde-se fazer a correspondência dos termos gerados com os termos de atraso, e então teremos o perfil de atraso de potência do canal. A geração dos termos e normalização da potência foram feitos da seguinte forma:

```
39 %% Generate Power Samples
40 % Power stats
41 [shadow_std, rice_mean, rice_std] = get_power_stats(env);
42 % Shadowing samples
43 shadow_samples = normrnd(0, shadow_std, [N,1]);
44 % Power samples
45 alpha_n_2 = exp(-tau_n .* (r_tau-1) ./ (r_tau*delay_spread)) .* 10.^(-shadow_samples ./ 10);
46 % alpha_n_2(1:5)
47
48 %% Rice factor
49 kr = 0;
50 kr_db = -inf;
51 if env == "UMi_LoS" || env == "UMa_LoS"
52     kr_db = normrnd(rice_mean, rice_std, [1,1]);
53     kr = 10 ^ (kr_db / 10);
54 end
55 kr
56
57 % Normalizing power
58 hat_omega_c = sum(alpha_n_2(2:N));
59 alpha_n_2 = (1/(kr + 1)) .* (alpha_n_2 ./ hat_omega_c);
60 alpha_n_2(1) = kr / (kr + 1);
61
62 % Verifying power = 1
63 omega_c = sum(alpha_n_2)
64 % Verifying Rice Factor
65 kr_check = alpha_n_2(1) ./ sum(alpha_n_2(2:N))
66 % Verifying Delay Spread
67 tau_bar = (1 / omega_c) * sum(tau_n .* alpha_n_2);
68 delay_spread
69 sigma_tau_check = sqrt((1 / omega_c) * sum(alpha_n_2 .* ((tau_n - tau_bar) .^ 2)))
```

Figura 3: Variáveis para Potência Multipercurso

O modelo do 3GPP 38.901 relaciona os termos de potência com os termos de atraso em uma relação de decaimento exponencial. Isto significa que as potências diminuem conforme os termos de atraso aumentam, ou seja, quanto maior o atraso da componente, menor será sua potência. Fisicamente sua explicação é lógica se pensarmos que quanto mais tempo a componente leva para chegar ao receptor, será dissipada mais potência durante o percurso.

O sombreamento é uma variação que pode ocorrer no sinal devido à objetos ou barreiras encontrados no percurso, ocasionando a perda de potência. Caso isto não ocorresse, a potência iria depender unicamente da distância percorrida pelo sinal, mas não é isto que vemos na prática, assim, essa variação ocasionada pelo sombreamento é atribuída aos sinais.

O fator de Rice caracteriza a relação entre a componente de visada direta e as componentes sem visada direta, relacionando-as com uma relação de potência. O fator de rice é gerado utilizando uma distribuição Gaussiana, com seu valor em dB, e em seguida, deve-se passar para a escala linear para realizar os cálculos e simulações.

O fator de Rice para meu cenário (UMa-NLoS) em linear seria 0, pois não temos visada direta. Porém, para verificar se o código estava fazendo uma correta normalização, verifiquei em um cenário UMa-LoS estes números. Na linha 55 tenho o fator de Rice gerado sendo mostrado e na linha 65 tenho a checagem do mesmo após as normalizações. Além disto, também achei interessante checar se o ganho do canal estava unitário após as normalizações, mostrado na linha 63. Isto gerou o seguinte:

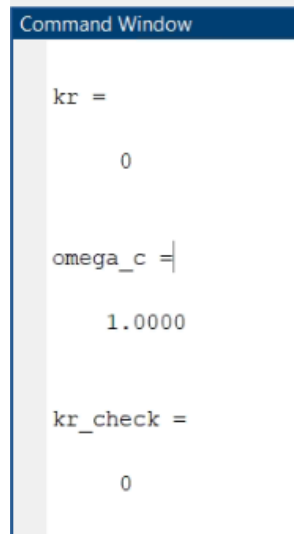


Figura 4: UMa-NLoS

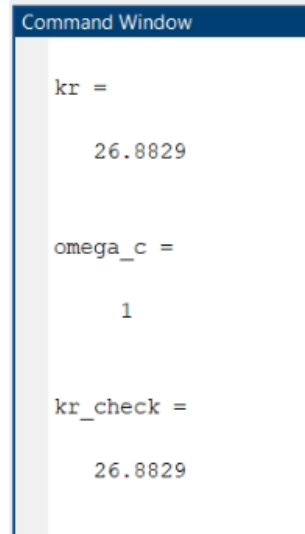


Figura 5: UMa-LoS

Após a geração e corretas conversões dos parâmetros acima citados, foi possível plotar a curva de perfil de de atraso de potência:

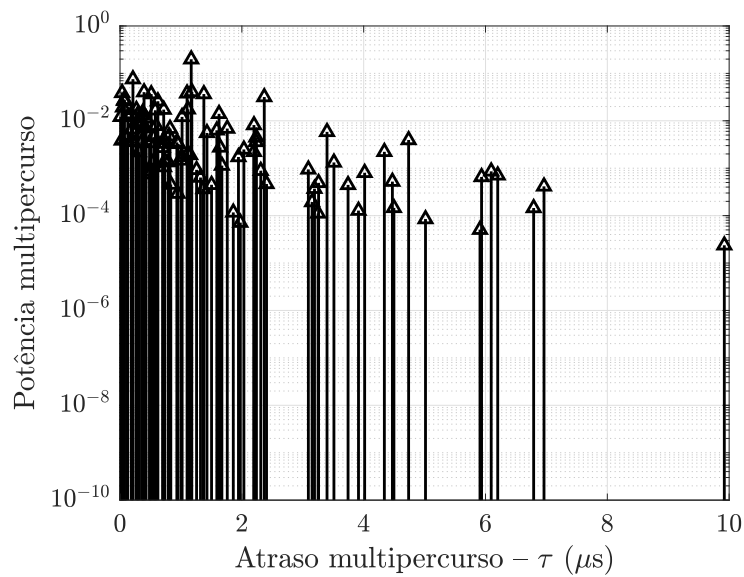


Figura 6: Perfil de Atraso de Potência

A potência parece bastante espalhada e não seguir o decaimento exponencial, mas se colocamos um gráfico utilizando os mesmos parâmetros com 1000 componentes, vemos o decaimento exponencial mais claramente:

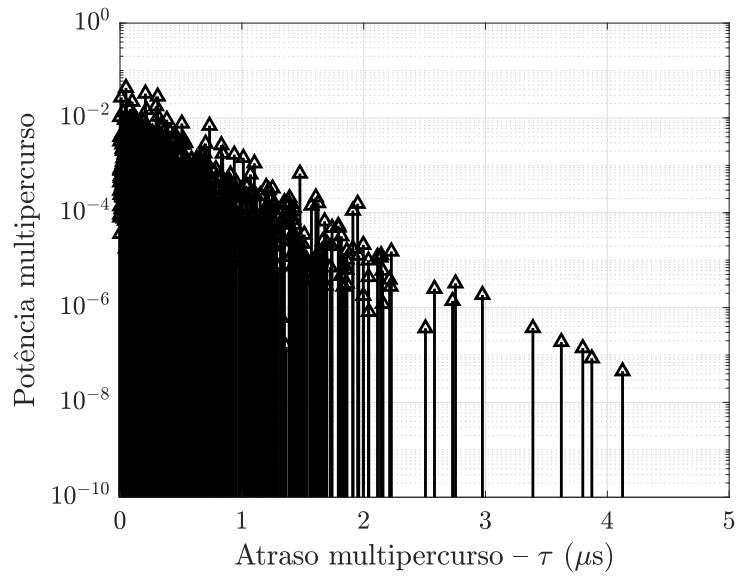


Figura 7: Perfil de Atraso de Potência - 1000 componentes

Também foi possível checar o espalhamento de atraso com os cálculos entre as linhas 66 a 69, o que resultou:

```
delay_spread =
    8.8316e-07|

sigma_tau_check =
    8.3889e-07
```

Figura 8: Espalhamento de Atraso Gerado e Medido

Vale ressaltar que em várias simulações esse espalhamento ficou até pior, e isso decorre que para termos o valor gerado exatamente igual deveríamos ter infinitas componentes de atraso para convergir. Isto decorre do comportamento da lei dos grandes números.

5 Ângulos de chegada

Aqui trataremos de ângulos de chegada em azimuth (plano horizontal) e em elevação (plano vertical) para compor as componentes angulares do sinal. Os ângulos

foram gerados da seguinte forma:

```
94 % -----
95 %% Angles Stats
96 % -----
97 [azimuth_mean, azimuth_std, elevation_mean, elevation_std] = get_angle_stats(freq_ghz, env);
98 % Azimuth Angles
99 sigma_theta_degree = 10 ^ (normrnd(azimuth_mean, azimuth_std, [1,1]));
100 sigma_theta_rad = sigma_theta_degree * (pi / 180);
101 max_alpha = max(alpha_n_2);
102 theta_n = 1.42 * sigma_theta_rad * sqrt(-log(alpha_n_2 ./ max_alpha));
103 % Adjusts
104 un = randsample([-1,1], N, true)';
105 % un(1:5)
106 yn = normrnd(0, sigma_theta_rad/7, [N, 1]);
107 % yn(1:5)
108 % Finally
109 theta_n = (un .* theta_n) + yn;
110 if env == "UMi LoS" || env == "UMa LoS"
111     theta_n = theta_n - theta_n(1);
112 else
113     theta_n(1) = 0;
114 end
```

Figura 9: Ângulos Azimutais

```
161 %% Elevation Angles
162 sigma_phi_degree = 10 ^ (normrnd(elevation_mean, elevation_std, [1,1]));
163 sigma_phi_rad = sigma_phi_degree * (pi / 180);
164 max_alpha = max(alpha_n_2);
165 phi_n = -sigma_phi_rad * log(alpha_n_2 ./ max_alpha);
166 % Adjusts
167 un = randsample([-1,1], N, true)';
168 % un(1:5)
169 yn = normrnd(0, sigma_phi_rad/7, [N, 1]);
170 % yn(1:5)
171 % Finally
172 phi_n = (un .* phi_n) + yn;
173 if env == "UMi LoS" || env == "UMa LoS"
174     phi_n = phi_n - phi_n(1) + phi_bar;
175 else
176     phi_n(1) = 0;
177 end
```

Figura 10: Ângulos em Elevação

Por fim, o significado físico dos ângulos de chegada irão definir como as componentes multipercurso irão incidir sobre o receptor. Estes ângulo vão alterar a fase do sinal recebido, o que irá prejudicar ou ajudar a recepção, respectivamente, no caso de interferências destrutivas e construtivas. Geralmente se utiliza uma distribuição Gaussiana justamente por depender de muitos efeitos aleatórios, dessa forma, do que se conhece até hoje, a distribuição Gaussiana seria a mais adequada.

Então, foi possível associar a potência das componentes com os ângulos:

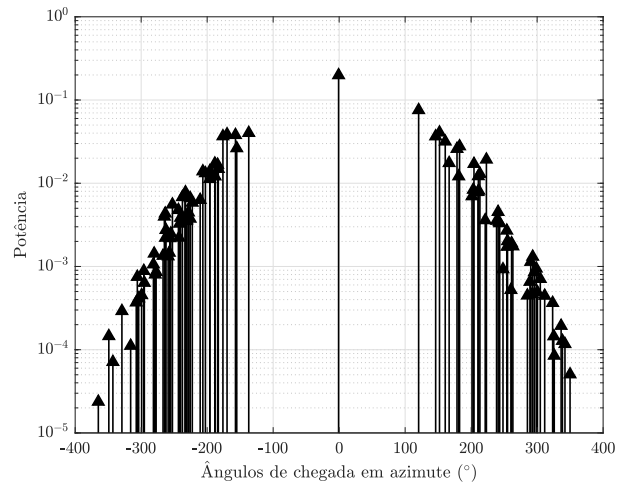


Figura 11: Espalhamento de Potência com Ângulos Azimutais

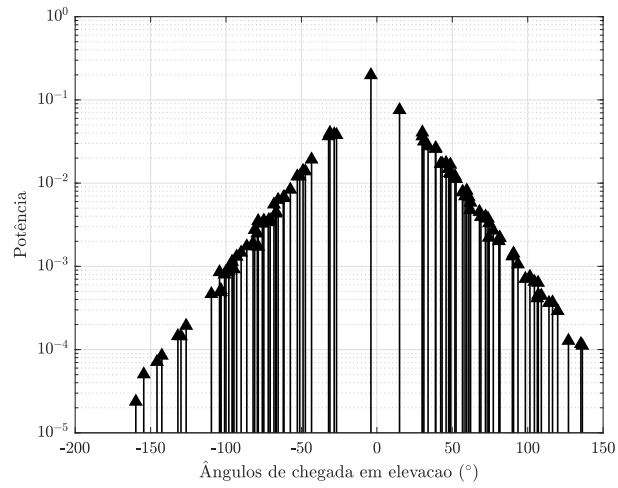


Figura 12: Espalhamento de Potência com Ângulos em Elevação

Com os ângulos gerados, foi possível então gerar os vetores de direção de chegada r_n :

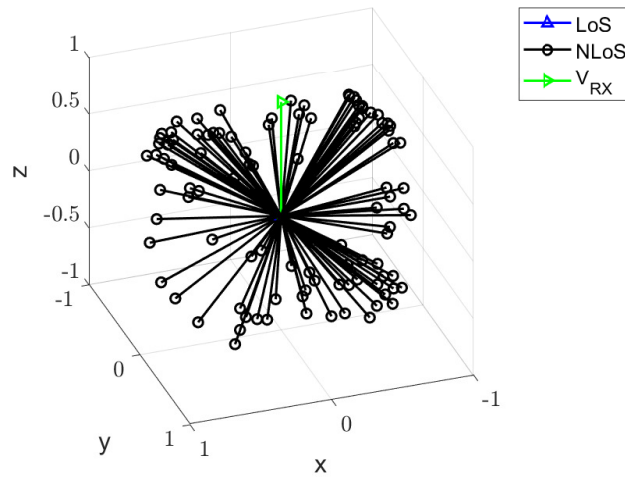


Figura 13: Vetores de Direção de Chegada

Observação: a próxima sessão referencia também o vetor direção de velocidade do receptor, foi plotado junto para facilitar a visualização. Como o cenário simulado foi UMa-NLoS, a componente de LoS não está representada pois o vetor dela precisa ser zerado. No caso de simular um ambiente com visada direta é possível ver o seu vetor direção representado.

6 Efeito Doppler

Para analisar o efeito doppler, ao invés de criar dois vetores velocidades, fixei as demais variáveis (espalhamento de atraso, fator de rice, ângulos de chegada) e rodei duas vezes a simulação, alterando a velocidade do receptor. Então, foi possível calcular os termos de desvio da seguinte forma:

```

259 % -----
260 %%% Doppler Effects
261 % -----
262 vn = (v / lambda) * (rn * vrX');
263 vn = sum(vn, 2);

```

Figura 14: Desvio Doppler

Note da figura acima que foi necessário calcular o produto interno. Isto foi feito em duas etapas, a primeira a multiplicação de um vetor linha $(x, 1)$ por um vetor coluna $(1, x)$, resultando em uma matriz $(1, x)$, em seguida, a soma foi feita nas colunas, resultando no produto interno $(1, 1)$.

Dessa forma, foi possível observar os termos dispersão de potência com desvio Doppler do canal para as duas velocidades:

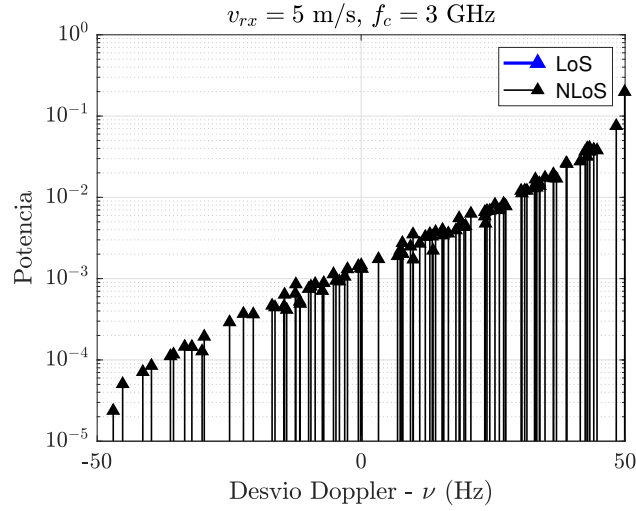


Figura 15: Dispersão de Potência Desvios Doppler $v = 5m/s$

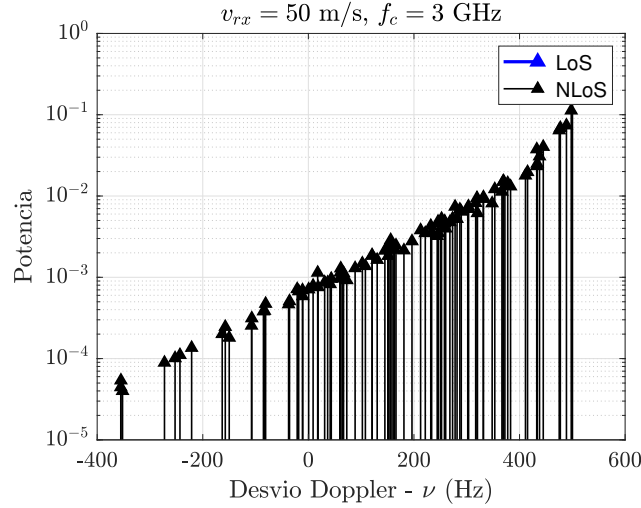


Figura 16: Dispersão de Potência Desvios Doppler $v = 50m/s$

Foi possível observar que os desvio doppler foram aproximadamente 10 vezes maiores, conforme o aumento também de 10 vezes da velocidades, seguindo o comportamento esperado.

7 Transmissão do Sinal

Foram gerados três pulsos retangulares de larga δt , e também foi necessário a geração de três eixos temporais para representar os pulsos, dado às diferenças de ordem de grandeza dos mesmos. Para isto, o código foi feito para iterar sobre os valores de δt e gerar o eixo temporal e o sinal transmitido por meio de uma função auxiliar que cria o pulso:

```

283 % -----
284 %% Signal Analysis
285 % -----
286 deltas_t = [1e-7, 1e-5, 1e-3];
287 n_samples = 1e5;
288
289
290 % Transmitted Signal
291 t = zeros(n_samples, length(deltas_t));
292 signal_tx = zeros(n_samples, length(deltas_t));
293 for d = 1 : length(deltas_t)
294     t(:, d) = linspace(0, 5*deltas_t(d), n_samples);
295     [signal_tx(:, d)] = generate_pulse(0, t(:, d), deltas_t(d));
296 end

```

Figura 17: Geração dos Sinais Transmitidos

Função auxiliar para gerar o pulso:

```

506 function [signal] = generate_pulse( delay, t, pulse_width )
507     signal = zeros(length(t), 1);
508     for i = 1 : length(t)
509         if t(i) >= delay && t(i) <= pulse_width + delay
510             signal(i) = 1;
511         end
512     end
513 end

```

Figura 18: Função Auxiliar para Geração dos Pulsos

Em seguida, foi possível então determinar os três sinais recebidos, com base nos eixos temporais, nos termos de multipercurso, ângulos e todos os parâmetros anteriormente definidos. Na figura abaixo é possível ver como os sinais recebidos foram determinados:

```

10 # An arbitrary signal
11 %-----
12
13 signal_rs = zeros(samples_N, N_length,deltas,3);
14
15 for d = 1 : length(deltas)
16     %-----
17     for i = 1 : N
18         delayed_signal = generate_delayed_signal(rl,rl,d,delta,d,i);
19         phase = 2*pi*(i-1)*(d-1)/N; % 2*pi*(i-1)/N; % 2*pi*(i-1)/N;
20         signal_rs(i,1,d) = alpha*(z_0(i) - exp(-phase * z_0(i))) * delayed_signal;
21     end
22 end
23
24 normalized_signal_rs(i,d) = (signal_rs(i,1,d))/N;
25
26 %-----
27
28 %-----
29 normalized_signal_rs(i,d) = (signal_rs(i,1,d))/N;
30
31 %-----
32
33 %-----
34
35 %-----
36
37 %-----
38
39 %-----
40
41 %-----
42
43 %-----
44
45 %-----
46
47 %-----
48
49 %-----
50
51 %-----
52
53 %-----
54
55 %-----
56
57 %-----
58
59 %-----
60
61 %-----
62
63 %-----
64
65 %-----
66
67 %-----
68
69 %-----
70
71 %-----
72
73 %-----
74
75 %-----
76
77 %-----
78
79 %-----
80
81 %-----
82
83 %-----
84
85 %-----
86
87 %-----
88
89 %-----
90
91 %-----
92
93 %-----
94
95 %-----
96
97 %-----
98
99 %-----
100
101 %-----
102
103 %-----
104
105 %-----
106
107 %-----
108
109 %-----
110
111 %-----
112
113 %-----
114
115 %-----
116
117 %-----
118
119 %-----
120
121 %-----
122
123 %-----
124
125 %-----
126
127 %-----
128
129 %-----
130
131 %-----
132
133 %-----
134
135 %-----
136
137 %-----
138
139 %-----
140
141 %-----
142
143 %-----
144
145 %-----
146
147 %-----
148
149 %-----
150
151 %-----
152
153 %-----
154
155 %-----
156
157 %-----
158
159 %-----
160
161 %-----
162
163 %-----
164
165 %-----
166
167 %-----
168
169 %-----
170
171 %-----
172
173 %-----
174
175 %-----
176
177 %-----
178
179 %-----
180
181 %-----
182
183 %-----
184
185 %-----
186
187 %-----
188
189 %-----
190
191 %-----
192
193 %-----
194
195 %-----
196
197 %-----
198
199 %-----
200
201 %-----
202
203 %-----
204
205 %-----
206
207 %-----
208
209 %-----
210
211 %-----
212
213 %-----
214
215 %-----
216
217 %-----
218
219 %-----
220
221 %-----
222
223 %-----
224
225 %-----
226
227 %-----
228
229 %-----
230
231 %-----
232
233 %-----
234
235 %-----
236
237 %-----
238
239 %-----
240
241 %-----
242
243 %-----
244
245 %-----
246
247 %-----
248
249 %-----
250
251 %-----
252
253 %-----
254
255 %-----
256
257 %-----
258
259 %-----
260
261 %-----
262
263 %-----
264
265 %-----
266
267 %-----
268
269 %-----
270
271 %-----
272
273 %-----
274
275 %-----
276
277 %-----
278
279 %-----
280
281 %-----
282
283 %-----
284
285 %-----
286
287 %-----
288
289 %-----
290
291 %-----
292
293 %-----
294
295 %-----
296
297 %-----
298
299 %-----
300
301 %-----
302
303 %-----
304
305 %-----
306
307 %-----
308
309 %-----
310
311 %-----
312
313 %-----
314
315 %-----
316
317 %-----
318
319 %-----
320
321 %-----
322
323 %-----
324
325 %-----
326
327 %-----
328
329 %-----
330
331 %-----
332
333 %-----
334
335 %-----
336
337 %-----
338
339 %-----
340
341 %-----
342
343 %-----
344
345 %-----
346
347 %-----
348
349 %-----
350
351 %-----
352
353 %-----
354
355 %-----
356
357 %-----
358
359 %-----
360
361 %-----
362
363 %-----
364
365 %-----
366
367 %-----
368
369 %-----
370
371 %-----
372
373 %-----
374
375 %-----
376
377 %-----
378
379 %-----
380
381 %-----
382
383 %-----
384
385 %-----
386
387 %-----
388
389 %-----
390
391 %-----
392
393 %-----
394
395 %-----
396
397 %-----
398
399 %-----
400
401 %-----
402
403 %-----
404
405 %-----
406
407 %-----
408
409 %-----
410
411 %-----
412
413 %-----
414
415 %-----
416
417 %-----
418
419 %-----
420
421 %-----
422
423 %-----
424
425 %-----
426
427 %-----
428
429 %-----
430
431 %-----
432
433 %-----
434
435 %-----
436
437 %-----
438
439 %-----
440
441 %-----
442
443 %-----
444
445 %-----
446
447 %-----
448
449 %-----
450
451 %-----
452
453 %-----
454
455 %-----
456
457 %-----
458
459 %-----
460
461 %-----
462
463 %-----
464
465 %-----
466
467 %-----
468
469 %-----
470
471 %-----
472
473 %-----
474
475 %-----
476
477 %-----
478
479 %-----
480
481 %-----
482
483 %-----
484
485 %-----
486
487 %-----
488
489 %-----
490
491 %-----
492
493 %-----
494
495 %-----
496
497 %-----
498
499 %-----
500
501 %-----
502
503 %-----
504
505 %-----
506
507 %-----
508
509 %-----
510
511 %-----
512
513 %-----
514
515 %-----
516
517 %-----
518
519 %-----
520
521 %-----
522
523 %-----
524
525 %-----
526
527 %-----
528
529 %-----
530
531 %-----
532
533 %-----
534
535 %-----
536
537 %-----
538
539 %-----
540
541 %-----
542
543 %-----
544
545 %-----
546
547 %-----
548
549 %-----
550
551 %-----
552
553 %-----
554
555 %-----
556
557 %-----
558
559 %-----
560
561 %-----
562
563 %-----
564
565 %-----
566
567 %-----
568
569 %-----
570
571 %-----
572
573 %-----
574
575 %-----
576
577 %-----
578
579 %-----
580
581 %-----
582
583 %-----
584
585 %-----
586
587 %-----
588
589 %-----
590
591 %-----
592
593 %-----
594
595 %-----
596
597 %-----
598
599 %-----
600
601 %-----
602
603 %-----
604
605 %-----
606
607 %-----
608
609 %-----
610
611 %-----
612
613 %-----
614
615 %-----
616
617 %-----
618
619 %-----
620
621 %-----
622
623 %-----
624
625 %-----
626
627 %-----
628
629 %-----
630
631 %-----
632
633 %-----
634
635 %-----
636
637 %-----
638
639 %-----
640
641 %-----
642
643 %-----
644
645 %-----
646
647 %-----
648
649 %-----
650
651 %-----
652
653 %-----
654
655 %-----
656
657 %-----
658
659 %-----
660
661 %-----
662
663 %-----
664
665 %-----
666
667 %-----
668
669 %-----
670
671 %-----
672
673 %-----
674
675 %-----
676
677 %-----
678
679 %-----
680
681 %-----
682
683 %-----
684
685 %-----
686
687 %-----
688
689 %-----
690
691 %-----
692
693 %-----
694
695 %-----
696
697 %-----
698
699 %-----
700
701 %-----
702
703 %-----
704
705 %-----
706
707 %-----
708
709 %-----
710
711 %-----
712
713 %-----
714
715 %-----
716
717 %-----
718
719 %-----
720
721 %-----
722
723 %-----
724
725 %-----
726
727 %-----
728
729 %-----
730
731 %-----
732
733 %-----
734
735 %-----
736
737 %-----
738
739 %-----
740
741 %-----
742
743 %-----
744
745 %-----
746
747 %-----
748
749 %-----
750
751 %-----
752
753 %-----
754
755 %-----
756
757 %-----
758
759 %-----
760
761 %-----
762
763 %-----
764
765 %-----
766
767 %-----
768
769 %-----
770
771 %-----
772
773 %-----
774
775 %-----
776
777 %-----
778
779 %-----
780
781 %-----
782
783 %-----
784
785 %-----
786
787 %-----
788
789 %-----
790
791 %-----
792
793 %-----
794
795 %-----
796
797 %-----
798
799 %-----
800
801 %-----
802
803 %-----
804
805 %-----
806
807 %-----
808
809 %-----
810
811 %-----
812
813 %-----
814
815 %-----
816

```

Figura 19: Cálculo dos Sinais Recebidos

Note da figura acima que o sinal atraso foi gerado utilizando a função auxiliar do passo anterior, dado o atraso τ_n da componente atrasada. Para o cálculo da fase foi utilizado os desvios doppler, o eixo temporal e a frequência utilizada. Em seguida, o sinal espalhado foi gerado somando os termos atrasados, ou seja, somando o sinal recebido ao longo do eixo das componentes multipercurso, de forma que no tempo $t = 1$, teremos todas as potências das componentes multipercurso somadas neste intervalo. Em seguida é tirado o módulo para ter o sinal puramente real e então ele é normalizado para que possamos comparar com o sinal transmitido com potência unitária.

Assim, teremos os três sinais transmitidos e recebidos:

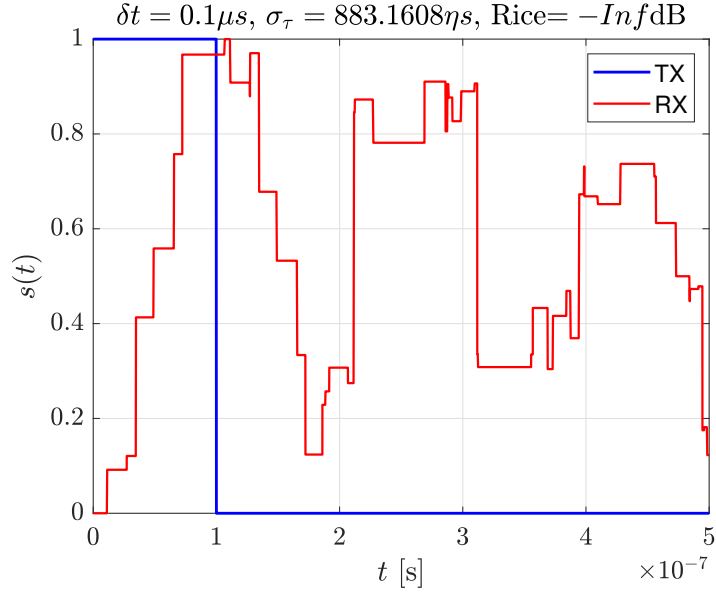


Figura 20: Sinal Recebido $\delta t = 10^{-7}s$

É possível perceber que o sinal com $\delta t = 10^{-7}s$ (20) é bastante filtrado pelo canal. Isto acontece pois a largura do pulso é bem pequena, na ordem do espalhamento de atraso, isto quer dizer que na frequência, este pulso tem uma largura de banda maior que a banda de coerência, portanto, o canal irá filtrar severamente o sinal recebido, portanto, conseguimos ver o sinal recebido bem deformado. Além do que, para o cenário UMa-NLoS, que não tem visada direta, as componentes multipercursos carregam toda a potência, portanto, ela se torna bem espalhada e a filtragem do canal se torna ainda mais impactante. Para este sinal, o canal é seletivo em frequência pois está espalhando bastante o sinal transmitido.

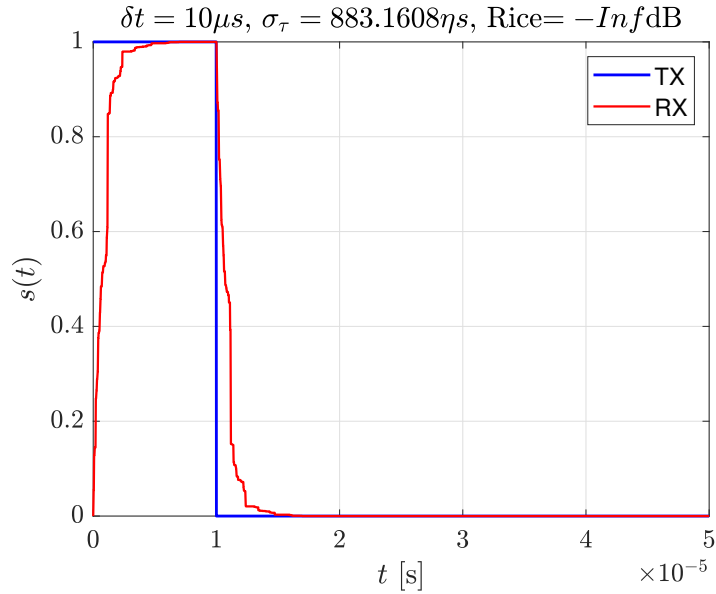


Figura 21: Sinal Recebido $\delta t = 10^{-5}s$

Já para o caso do sinal com $\delta t = 10^{-5}s$ (21) já não é tão filtrado pelo canal. Isto se dá pela relação entre espalhamento de atraso e largura do pulso, dado que a largura do pulso agora está a duas ordem maior que o espalhamento de atraso, na frequência o sinal transmitido foi estreitado, o que resulta em uma menor filtragem pela banda de coerência do canal. Mas ainda há uma filtragem, o que mostra que alguns componentes ainda não podem ser diferenciadas do ponto de vista do receptor, isto gera um certo ruído nas bordas (componentes de mais altas frequências).

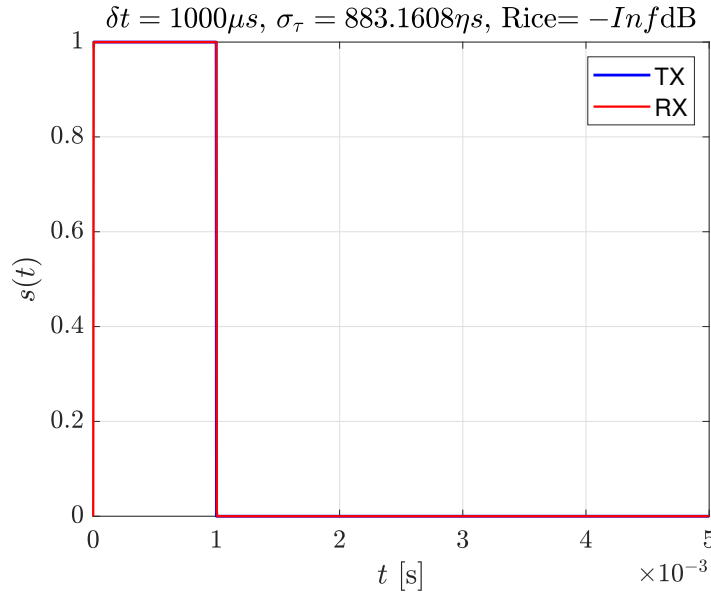


Figura 22: Sinal Recebido $\delta t = 10^{-3}s$

Para o caso com $\delta t = 10^{-3}s$ (22) é possível notar que o sinal quase não é filtrado pelo canal. Isto porque agora o espalhamento de atraso já é bem menor que a largura do pulso, isto resulta que a banda de coerência é bem maior que a banda do pulso transmitido, dado que ele foi alargado no tempo sua banda diminui, e agora quase, se não todas, as componentes multipercurso são identificadas pelo receptor sem que o sinal seja tão espalhado, tornando a recepção quase perfeita. Isto mostra um canal não seletivo em frequência, dado o sinal transmitido.

8 Tempo e Banda de Coerência do Canal

A função de autocorrelação do canal foi feita isolando frequência e tempo. Para isto, foram gerados os vetores da seguinte forma:

```

355 %% Coherency bandwidth and coherency time
356 n_samples = 1e4;
357 k = logspace(-3, 10, n_samples);
358 t = logspace(-6, 0, n_samples);
359
360 omega_c = sum(alpha_n_2);
361 autocorr_freq_n = (1 / omega_c) .* alpha_n_2 .* exp(-2i * pi * tau_n .* k);
362 autocorr_freq = sum(autocorr_freq_n, 1);
363
364 autocorr_time_n = (1 / omega_c) .* alpha_n_2 .* exp(2i * pi * vn .* t);
365 autocorr_time = sum(autocorr_time_n, 1);

```

Figura 23: Funções de Autocorrelações

Note que o eixo da frequência foi gerado utilizando k e o eixo de tempo foi representado por t . Então, para gerar a autocorrelação em frequência, zeramos os termos temporais. Já para a autocorrelação temporal, zera-se o termo de frequência.

Então, é possível encontrar a banda de coerência que mantém a taxa de correlação de 95% e 90%:

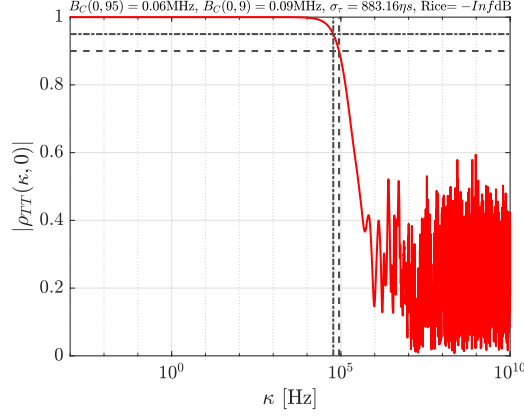


Figura 24: Banda de Coerência

Em seguida, também é possível encontrar o tempo de coerência que mantém a taxa de correlação de 95% e 90%, para as velocidades de $v = 5m/s$ e $v = 50m/s$:

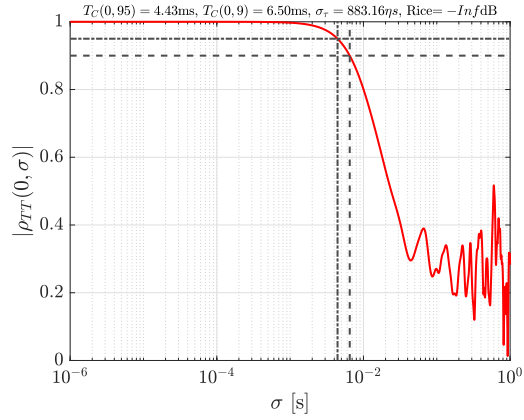


Figura 25: Tempo de Coerência $v = 5m/s$

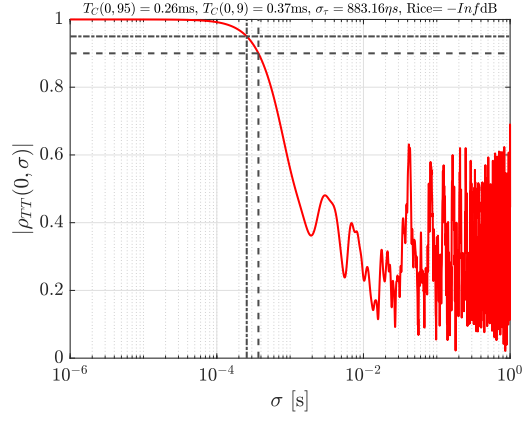


Figura 26: Tempo de Coerência $v = 50m/s$

Das figuras acima, note que o tempo de coerência para as duas porcentagens caiu na ordem de 10 vezes ao mudar a velocidade de $v = 5m/s$ para $v = 50m/s$, seguindo a proporção de aumento da velocidade. Como tive de simular duas vezes, mesmo mantendo os parâmetros de larga escala, os valores dos parâmetros das componentes mudaram (e devem mudar). Porém, caso tivesse utilizado exatamente o mesmo canal, veríamos uma diminuição exata de 10 vezes no tempo de coerência. Portanto, é se de notar que o efeito doppler pode ser bem nocivo ao canal de comunicação.